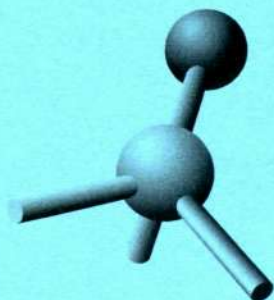




РОССИЙСКАЯ АКАДЕМИЯ НАУК

Том 59
январь
февраль
2018

ЖУРНАЛ СТРУКТУРНОЙ ХИМИИ



№ 1

НОВОСИБИРСК

РОССИЙСКАЯ АКАДЕМИЯ НАУК
СИБИРСКОЕ ОТДЕЛЕНИЕ

ЖУРНАЛ
СТРУКТУРНОЙ
ХИМИИ
НАУЧНЫЙ ЖУРНАЛ

Основан в 1960 г.

Выходит 8 раз в год

ТОМ 59

Январь-февраль

№ 1, 2018

СОДЕРЖАНИЕ

ТЕОРИЯ СТРОЕНИЯ МОЛЕКУЛ И ХИМИЧЕСКОЙ СВЯЗИ

Ермаков А.И., Хоришко Б.А.

7

Симметричность энталпий образования, энергий активации электропроводности виостита и кластеров его кристаллической решетки



Ключевые слова: квантово-химическое моделирование, кластеры, кристаллическая решетка, виостит, энталпия образования, энергия активации электропроводности

Новосадов Б.К.

18

Силы в молекулах. Новые квантовые соотношения

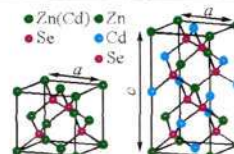
$$\hat{\mathbf{F}}_i = \sum_{a=1}^N \nabla_i \frac{-Z_a}{r_{ia}} + \sum_{j=1, j \neq i}^n \nabla_i \frac{1}{2r_j}$$

Ключевые слова: волновое уравнение, оператор силы, теорема Гельмана – Фейнмана

Басалаев Ю.М., Сидорова А.В.

23

Электронное строение и упругие свойства кристалла ZnCdSe₂ со структурой халькопирита

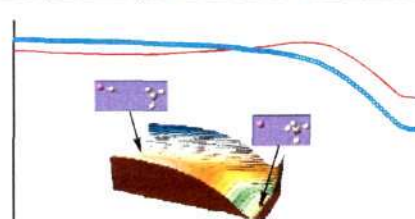


Ключевые слова: халькопирит, ZnCdSe₂, ZnZnSe₂, CdCdSe₂, зонная структура, деформационная плотность, химическая связь

Tag El-Din Kamal M., El-Wallid S. Sedik, Talaat H.

28

Variation of the intersection point of the potential surface crossing induced by the laser phase along the reaction path in ion-molecule reactions: Application to Li⁺ + CH₄

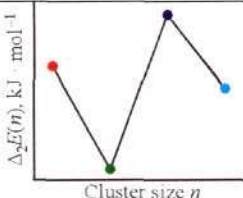


Keywords: intense laser fields, dipole moment, polarizability, reaction path, unrestricted second order Moller-Plesset calculations (UMP2), ion-molecule reaction, potential energy surface crossings

Ma D.X., Xia Q.Y.

36

A systematic search for structures and stabilities of asymmetric clusters (HFInN₃)_n ($n = 1 - 6$)



Keywords: asymmetric clusters (HFInN₃)_n ($n = 1 - 6$), single source precursors, density functional theory (DFT), structures, stabilities, IR spectra

Sathiyaraj E., Thirumaran S., Ciattini S.

Crystallographic and computational studies on N-furfuryl-N-(3-hydroxybenzyl)amine and N-furfuryl-N-(4-hydroxybenzyl)amine

Keywords: crystal structures, DFT, HOMO-LUMO, vibrational spectra



Макарова М.В., Семёнов С.Г., Костиков Р.Р.

Квантово-химическое исследование кислотности производных ацетилена и 1,2-дигидробакминстерфуллерена

Ключевые слова: ацетилены, фуллерен, CH-кислота, карбанион, неподеленная электронная пара, эффект растворителя, DFT

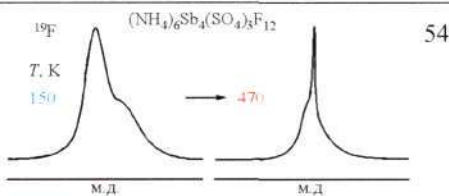


ИССЛЕДОВАНИЕ СТРОЕНИЯ МОЛЕКУЛ ФИЗИЧЕСКИМИ МЕТОДАМИ

Кавун В.Я., Земнухова Л.А., Полянцев М.М.

Ионная подвижность в сульфатофторидных комплексах сурьмы(III) состава $M_6Sb_4(SO_4)_3F_{12}$ ($M = Rb, Cs, NH_4$) и $(NH_4)_2Sb(SO_4)F_3$ по данным ЯМР ^{19}F и 1H

Ключевые слова: сульфатофториды сурьмы(III), спектры ЯМР ^{19}F , 1H



Al-Barody S.M.

Characterization and thermal study of Schiff-base monomers and its transition metal polychelates and their photovoltaic performance on dye sensitized solar cells

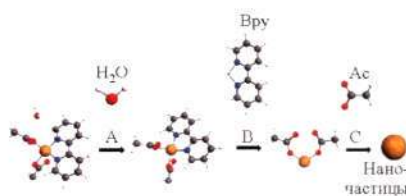
Keywords: synthesis, bis-azo dye, polychelates, coordinate polymer, poly Schiff-base, dye-sensitized solar cell (DSSC)



Кременная М.А., Будник А.П., Солдатов М.А.,
Ластовина Т.А., Солдатов А.В.

Рентгеноспектральное исследование атомной структуры ацетатно-бипиридинового комплекса меди(II) в процессе термического разложения

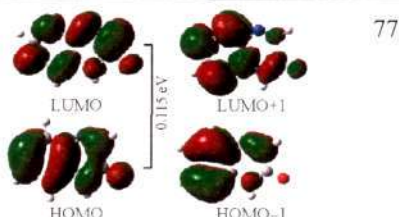
Ключевые слова: ацетатно-бипиридиновый комплекс меди(II), прекурсор наночастиц оксида меди, термогравиметрия, ИК спектроскопия, XANES, теория функционала плотности, локальная атомная и электронная структура



Makhlofi A., Ghemit R., Baitiche M., Merbah M.

Theoretical and experimental investigation on 2-hydroxyquinoxaline structure: Study of tautomerization equilibrium system and analysis of electronic properties

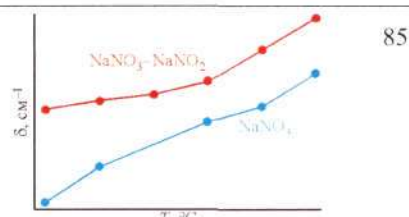
Keywords: 2-hydroxyquinoxaline, tautomerism, DFT, analysis spectral, electronic properties



Алиев А.Р., Ахмедов И.Р., Какагасанов М.Г.,
Алиев З.А., Амиров А.М.

Молекулярная релаксация бинарных систем $LiNO_3-LiClO_4$, $NaNO_3-NaNO_2$, $K_2CO_3-K_2SO_4$

Ключевые слова: молекулярная релаксация, бинарные системы, ионные кристаллы, комбинационное рассеяние, колебательные спектры

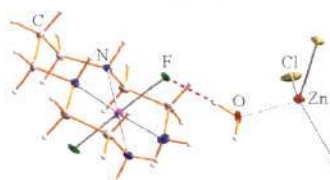


Moon D., Tanaka S., Akitsu T., Choi J.-H.

92

Crystal structure, spectroscopic and magnetic properties of *trans*-difluoro(1,4,8,11-tetraazaundecane)chromium(III) aquatrichlorozincate

Keywords: synthesis, crystal structure, 1,4,8,11-tetraazaundecane, chromium(III), Zn(II), physical properties, *trans*-*meso*(RS)-conformer



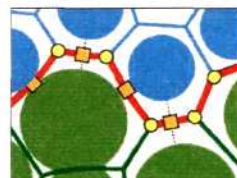
СТРУКТУРА ЖИДКОСТЕЙ И РАСТВОРОВ

Волошин В.П., Ким А.В., Шелепова Е.А., Медведев Н.Н.

101

Определение границы между липидным бислоем и водой

Ключевые слова: метод молекулярной динамики, метод Вороного–Делоне, липидные мембранны, профиль атомной плоскости, профиль свободного объема

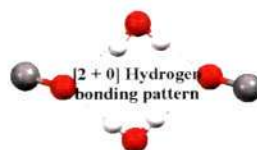


Siddiqui K.A.

111

Structural diversity of metal-organic hydrates: A crystallographic structural database study

Keywords: lattice water, metal-organic coordination complexes, hydrogen bonding, metallo-supramolecular chemistry



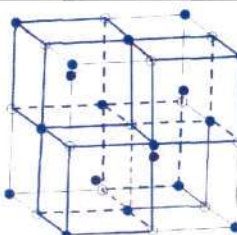
КРИСТАЛЛОХИМИЯ

Борисов С.В., Первухина Н.В., Магарилл С.А.

118

Кристаллографическая основа стабильности распространенных (популярных) структурных типов

Ключевые слова: кристаллографический анализ, катионные и анионные подрешетки, механико-волновая концепция кристаллического состояния, структурные типы алмаза и шпинели, структурные типы турмалина и апатита, критерии стабильности и упаковки

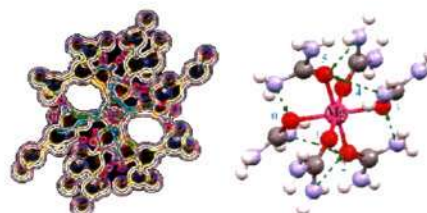


Pay В.Г., Pay Т.Ф., Ломтев Л.А., Никитин О.Р.

124

Группа нарушенной симметрии в октаэдрическом катионе $[Me(\text{urea})_6]^{2+,3+}$ с внутрикомплексными водородными связями

Ключевые слова: комплексные катионы с карбамидом, группы симметрии подстановок, таблицы Кэли, полугруппы, принцип Кюри–Неймана, группы нарушенной симметрии, таблицы и структуры групп с нарушенной симметрией, дивергентные и конвергентные орграфы структуры

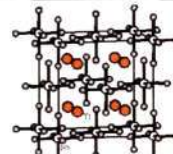


Соколов М.Н., Рогачев А.В., Вировец А.В., Богомяков А.С.

124

Кристаллическая структура $Tl_2[NbCl_6]$ и $Tl_2[NbBr_6]$

Ключевые слова: таллий, ниобий, кристаллическая структура, магнетизм



Куратьева Н.В., Викулова Е.С., Жерикова К.В.

131

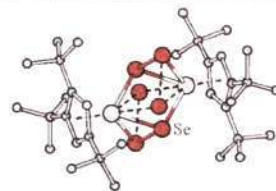
Кристаллохимическое исследование двух комплексов магния с трифторацетилацетоном

Ключевые слова: магний, трифторацетилацетон, синтез, рентгеноструктурный анализ



Афонин М.Ю., Сухих Т.С., Конченко С.Н.

140

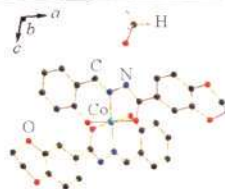


Кристаллическая структура биядерных комплексов кобальта $[(\text{Cp}''\text{Co})_2(\mu_2\text{-}\eta^1\text{:}\eta^2\text{-S}_2)_2]$ и $[(\text{Cp}''\text{Co})_2(\mu_2\text{-}\eta^1\text{:}\eta^2\text{-Se}_2)_2]$

Ключевые слова: биядерные комплексы, кобальт, сера, селен, кристаллическая структура

Sheng G.-H., Wang C.-F., Feng S., Gao X., Zhu H.-L.

144

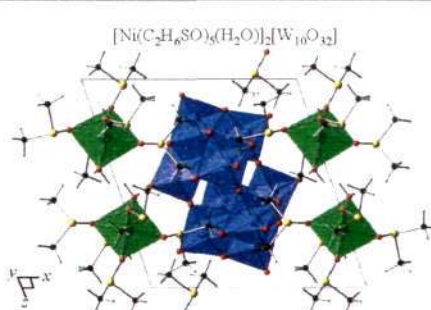


Characterization and crystal structure of a novel mononuclear cobalt(II) complex with hydrazone derived from protocatechuic acid

Keywords: комплекс, гидразон, протоцетоуксусная кислота, кристаллическая структура, термическая стабильность

Пойманова Е.Ю., Медведь А.О., Радио С.В., Баумер В.Н., Арзуманян Г.М., Дорошевич Н.В., Хомутова Е.В., Белоусова Е.Е., Розанцев Г.М., Панюшкин В.Т.

149

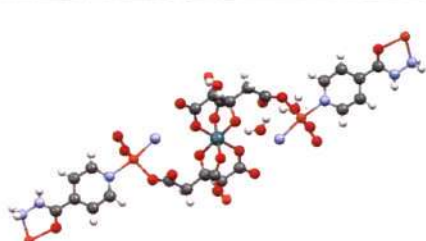


Декавольфрамат никеля $[\text{Ni}(\text{C}_2\text{H}_6\text{SO})_5(\text{H}_2\text{O})]_2[\text{W}_{10}\text{O}_{32}]$: синтез из водно-диметилсульфоксидного раствора, определение кристаллической структуры, ИК- и КР-спектроскопический анализ, микроморфология поверхности

Ключевые слова: кристаллическая структура, изополивольфрамат, декавольфрамат-анион, никель(II)

Сейфуллина И.И., Марцинко Е.Э., Чебаненко Е.А., Дьяконенко В.В., Шишкова С.В., Пирожок О.В.

158

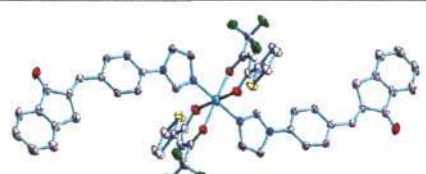


Структура координационного полимера $\{\text{Cu}_2\text{Ge}(\mu\text{-Cit})_2(\mu\text{-INH})_2\}\cdot 4\text{H}_2\text{O}$, где H₄Cit – лимонная кислота, INH – гидразид изоникотиновой кислоты

Ключевые слова: синтез, диоксид германия, лимонная кислота, гидразид изоникотиновой кислоты, ацетат меди(II), координационный полимер, молекулярная структура, рентгеноструктурный анализ

Wang G.-F., Zhang X., Sun S.-W., Li H., Meng L.-X., Yao C.-Z., Zhao Y.-F., Wei B.-H.

164

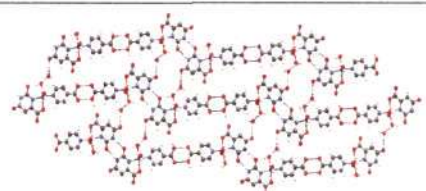


Structural characterization of two copper complexes with 2-arylidenebenzocycloalkanone ligands

Keywords: synthesis, copper complex, crystal structure, β -diketonate complexes, ketone

Siddiqui K.A., Lama P.

170



First orotic acid and isonicotinic acid based Zn-complex: Hydrothermal synthesis, crystal structure and thermogravimetric analysis

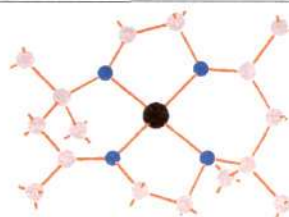
Keywords: crystal engineering, orotate complex, hydrogen bonding

Быкова Е.А., Храненко С.П., Громилов С.А.

176

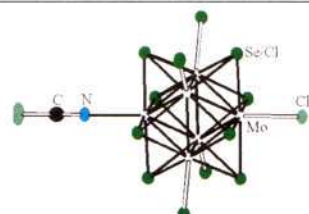
Особенности упаковки структур $[ML_2](\text{ReO}_4)_2$ ($M = \text{Cu}, \text{Ni}; L=5,5,7,12,12,14\text{-гексаметил-1,4,8,11-тетрааза-циклогексадекан}$)

Ключевые слова: медь, никель, макроциклический лиганд, перренат-анион, кристаллохимия, упаковка структуры, рентгеноструктурный анализ



Михайлов М.А., Вировец А.В., Пересыпкина Е.В.,
Брылёв К.А., Соколов М.Н.

181



**Строение и люминесцентные свойства
кластерных комплексов с ядром $\{\text{Mo}_6(\mu_3\text{-SeCl})_3\}^{3+}$**

Ключевые слова: синтез, кластерные комплексы молибдена, замещение мостиковых хлоридных лигандов, сольватация, кристаллическая структура, люминесценция

Huang Y., Wang Q., Ma Z.

186

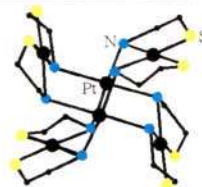


**A neutral dinuclear silver(I)
4'-phenyl-terpyridine compound**

Keywords: silver compound, 4'-phenyl-terpyridine, thermal synthesis, X-ray diffraction

Азизова А.Н., Тагиев Д.Б., Османова С.Н.,
Касумов Ш.Г., Гасанов Х.И.

191

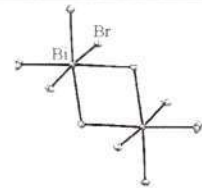


**Кристаллическая и молекулярная структура комплекса
платины(II) с β -меркаптоэтиламин гидрохлоридом**

Ключевые слова: платина, лиганд, координация, дентантность, металлохелат, меркамин

Коваленко Е.А., Кочелаков Д.В., Самсоненко Д.Г.,
Федин В.П.

196

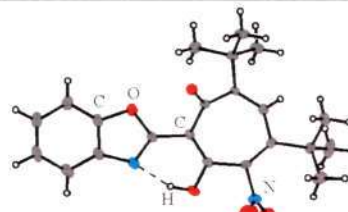


**Кристаллическая структура биядерного комплекса
висмута $[\text{H}_2\text{dabeo}]_2[\text{Bi}_2\text{Br}_{10}]4\text{H}_2\text{O}$**

Ключевые слова: синтез, висмут, dabeo, рентгеноструктурный анализ, кристаллическая структура

Ткачев В.В., Саяпин Ю.А., Тупаева И.О., Гусаков Е.А.,
Шилов Г.В., Алдошин С.М., Минкин В.И.

200

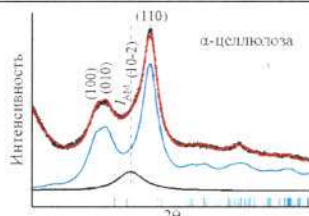


**Строение 2-(бензоксазол-2-ил)-5,7-ди(*трет*-бутил)-
4-нитро-1,3-трополона**

Ключевые слова: синтез, бензоксазолы, 1,3-трополоны, внутримолекулярная водородная связь, рентгеноструктурный анализ

Подгорбунских Е.М., Бычков А.Л., Булина Н.В.,
Ломовский О.И.

204

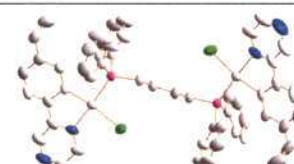


**Разупорядочение кристаллической структуры
целлюлозы при механической активации**

Ключевые слова: степень кристалличности, аморфизация целлюлозы, разупорядочение структуры, механическая активация

Li H.M., Wang Z.Q., Fu W.J., Xu C.

212



**Crystal structures of two luminescent mononuclear
and dinuclear cyclopalladated
2-(4-ethylphenyl)pyrazine complexes**

Keywords: palladacycle, C–H···N(Cl) hydrogen bond, π ··· π interaction

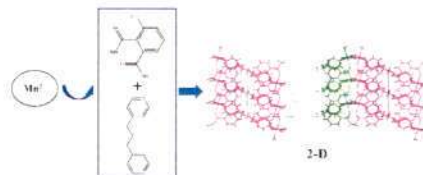
СУПРАМОЛЕКУЛЯРНЫЕ СОЕДИНЕНИЯ И НАНОРАЗМЕРНЫЕ СИСТЕМЫ

Chooset S., Kantacha A., Nimthong A., Zeller M.,
Wongnawa S.

217

X-ray crystal structure of a novel 2D Mn(II) coordination polymer with 4,4'-trimethylenedipyridine and 3-nitrophthalate as ligands

Keywords: synthesis, manganese(II) complexes,
supramolecular chemistry, coordination polymer,
2-dimentionalpolymer, dicarboxylate complexes

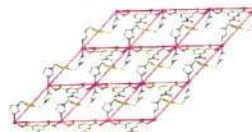


Cheng J., Wang G.-H., Wang Y.-W.

225

Crystal structure of a 2D cadmium(II) coordination polymer containing flexible bis(imidazole) ligand

Keywords: bis(imidazole), cadmium complex, crystal structure

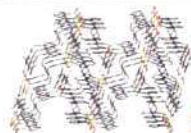


Cui J.W., Wang S.C., Wang Y.Y., Dong G.Y.

229

Crystal structure of a 1D silver(I) coordination polymer containing flexible bis(benzimidazole)

Keywords: Ag(I) complex, bis(benzimidazole), crystal structure



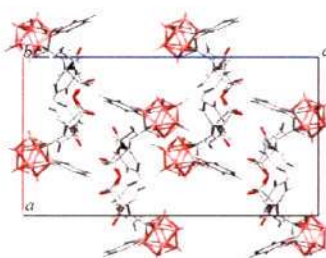
СТРУКТУРА БИОЛОГИЧЕСКИ АКТИВНЫХ СИСТЕМ

Сулеймен Е.М., Казанцев А.В., Van Hecke K.,
Искакова Ж.Б., Акатаев К.

233

Кристаллическая, молекулярная структура и цитотоксическая активность диэтилового эфира 2-[(фенил-(фенил-*o*-карборанил)-метил] малоновой кислоты

Ключевые слова: производные *o*-карборана, производные малоновой кислоты, рентгеноструктурный анализ, ЯМР спектроскопия, цитотоксическая активность



Sharma S., Brahmachari G., Kumar A., Misra N.,
Kant R., Gupta V.K.

237

Molecular modeling, spectroscopic investigations, and computational studies of DMSO solvated 7'-amino-1',3'-dimethyl-2,2',4'-trioxo-1',2',3',4',4a',8a'-tetrahydrospiro-[indoline-3,5'-pyrano[2,3-*d*]pyrimidine]-6'-carbonitrile

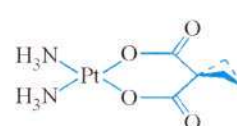


Keywords: green synthesis, spiro-oxindole, X-ray diffraction, direct methods, interactions, DFT calculations

Rezazadeh M., Ghiasi R., Jamehbozorgi S.

247

Solvent effects on the structure and spectroscopic properties of the second-generation anticancer drug carboplatin: A theoretical insight



Keywords: carboplatin, anticancer drug, frontier orbitals analysis, solvent effect, hyperpolarizability

Содержание следующего номера — в конце журнала

© Сибирское отделение РАН, 2017

© Институт неорганической химии им. А.В. Николаева СО РАН, 2017

© Новосибирский государственный университет, 2017